

## МЕТОДИКА ГЕОДЕЗИЧЕСКОГО КОНТРОЛЯ ПРЯМОЛИНЕЙНОСТИ ОСИ ВРАЩЕНИЯ ПЕЧИ ВО ВРЕМЯ РАБОТЫ АГРЕГАТА

Существует достаточное количество методов геодезического контроля установки вращающихся печей во время монтажа или ремонта. В настоящей статье описана разработанная методика определения отклонений от прямолинейности оси вращения во время работы печи.

Контролью прямолинейности оси вращения в ряде случаев предшествует закрепление на фундаментах опор прямой общего положения, приблизительно параллельной оси вращения, которая используется также для контроля положения опорных роликов [2]. Ее закрепляют во время монтажа печи или установки на ремонт. За пределами одного из крайних фундаментов устанавливают оптический прибор для контроля прямолинейности или лазерный излучатель. В качестве первого используют высокоточный нивелир [4], зрительную трубу которого ориентируют на опорную марку, расположенную за пределами другого крайнего фундамента. В случае задания прямой лазерным прибором обязательно следует использовать фотоприемные устройства. Точность фиксации оси лазерного излучения должна быть не ниже  $\pm 0,5$  мм [1]. При фиксации в рамках или относительно опорных роликов так, чтобы положение ее по возможности меньше отличалось от плановой проекции оси вращения печи.

Плоскости попеченных сечений, в которых определяют значения непрямолинейности оси вращения, обозначают поверхностями пары щитков  $I$  (рис. 1), покрытых восковкой, устанавливаемых на стойках 2, основания 3 которых забетонированы на фундаментах. Стойки 2 имеют или регулируемую, или постоянную высоту. Щитки представляют собой параллелограммы с основанием  $0,7 \dots 1,0$  м и высотой  $0,3 \dots 0,5$  м. Верхние части стоек выполнены в виде посадочных гнезд для установки щитков. В эти гнезда можно устанавливать оптический прибор. Высота центральных перекрестий щитков ( $A_1, \dots, A_n, B_1, \dots, B_n$ ) равна высоте визирной оси зрительной трубы оптического прибора при установке его на стойку. Высота стоек, устанавливаемых в одном сечении, может различаться на  $0,5 \dots 0,8$  м, однако стойки, расположенные с одной стороны печи, имеют одинаковую высоту. Разница высот стоек, устанавливаемых в каждом из сечений, одинакова. Сначала устанавливают стойки на двух крайних фундаментах. На каждой из стоек одного из крайних фундаментов располагают оптический прибор (лучше всего точный теодолит), а на стойках другого, крайнего фундамента — щитки. Расстояние между осями вращения телодолитов на щитках. Точки  $B'_1, B''_1, A'_1$  намечают на траекториях, прочерченных крестиями щитков одинаковы. Ориентируют зрительные трубы

одолитов на перекрестья щитков. Перекрестья каждого из щитков, устанавливаемых на стойках в других контролируемых сечениях, расположенных между крайними, совмещают с визирными осями зрительных труб. Таким образом перекрестья щитков закрепляют две параллельные между собой линии ( $A_1A_n \parallel B_1B_n$ ). Необходимо отметить, что закрепленные прямые должны быть привязаны параллельными оси вращения печи. Превышение между

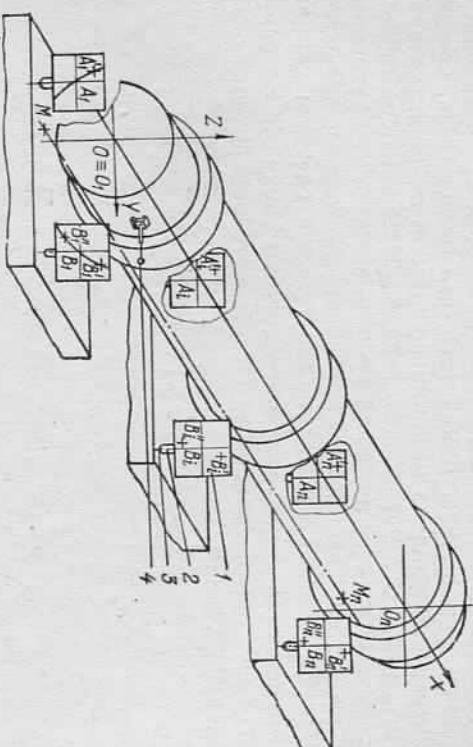


Рис. 1. Схема установки средств контроля для определения искривления оси вращения во время работы печи:  
1 — плоскости щитков; 2 — стойки; 3 — основания стоек; 4 — сигнально-пушечное устройство.

ду стойками на крайних опорах определяют с помощью геометрического нивелирования, а для измерения расстояний используют приборы, рекомендованные в [3]. Таким же образом связывают упомянутые выше параллельные линии с опорной прямой  $M_1M_n$ , закрепленной ранее на фундаментах.

На корпусе печи (на магните или в заранее подготовленном месте) устанавливают сигнально-пушечное устройство 4 регулируемой длины таким образом, чтобы его перо во время вращения печи касалось обоих щитков, установленных в одном сечении. Так как частота вращения печи невелика (не более 1,5 об/мин), то устанавливать устройство на корпусе во время работы агрегата несложно. Непрямолинейность оси вращения определяют на основании нанесенных на щитках траекторий движения пера сигнально-пушечного устройства. Сначала производят запись траекторий на щитках, которые фиксируют плоскость попеченного сечения на одном из крайних фундаментов, заменив, в случае необходимости, теодолиты щитками. Затем на щитки наносят дополнительные перекрестья: два — на одном щитке ( $B'_1$  и  $B''_1$ ) и одно — на другом ( $A'_1$ ). Точки  $B'_1, B''_1, A'_1$  намечают на траекториях, прочерченных на щитках. Точку  $A'_1$  наносят на траектории произвольно, а  $B'_1$  и  $B''_1$  — на расстояниях  $100 \dots 150$  мм от краев щитка.

На шпилках, обозначающих плоскости всех остальных поперечных сечений, также наносят дополнительные перекрестья  $A'_2, \dots, A'_n$ ,  $B'_2, \dots, B'_n$ ;  $A''_1, \dots, A''_n$  и  $B''_1, \dots, B''_n$ . Координаты их относительно центральных перекрестьй соответствующих шпилков равны координатам дополнительных перекрестьй, нанесенных на шпилки с записанными траекториями.

Вслед за этим сигнально-пищущее устройство устанавливают на корпусе в сечении, обозначенном плоскостями шпилков на другом краинем фундаменте. Ввиду того, что линия  $O_1O_n$ , соединяющая центры вращения на крайних фундаментах, параллельна линиям  $A_1A_n$  и  $B_1B_n$ , а установить радиус вращения пера пищущего устройства одинаковым в обоих сечениях сложно, то нанесенная на шпилках траектория не проходит через дополнительные перекрестья  $A'_n, B'_n$  и  $B''_n$ . Связав ось  $OX$  прямоугольной системы координат  $XZY$  с линией  $O_1O_n$ , определяют координаты точки  $A'_1$  относительно оси  $OX$  или центра вращения  $O_1$ , крайнего поперечного сечения согласно выражениям

$$Y_{A'_1} = \frac{\bar{y}_{B'_1}(\bar{y}_{B'_1}^2 + \bar{z}_{B'_1}^2) - z_{B'_1}(\bar{y}_{B'_1}^2 + \bar{z}_{B'_1}^2)}{2(\bar{y}_{B'_1}\bar{z}_{B'_1} - \bar{y}_{B'_1}\bar{z}_{B'_1})},$$

$$Z_{A'_1} = \frac{\bar{y}_{B'_1}(\bar{y}_{B'_1}^2 + \bar{z}_{B'_1}^2) - z_{B'_1}(\bar{y}_{B'_1}^2 + \bar{z}_{B'_1}^2)}{2(\bar{y}_{B'_1}\bar{z}_{B'_1} - \bar{y}_{B'_1}\bar{z}_{B'_1})}. \quad (1)$$

Выражения (1) получены на основании совместного решения уравнений окружности с центром в точке  $O_1$ , проходящей через точки  $A'_1, B'_1, B''_1$ . Поэтому  $\bar{y}_{B'_1}, \bar{z}_{B'_1}, \bar{y}_{B''_1}, \bar{z}_{B''_1}$  — координаты точек  $B'_1$  и  $B''_1$ , соответственно при условии помешения начала системы координат  $\bar{y}\bar{z}\bar{z}$  в точку  $A'_1$  (рис. 2).

В случае наличия на фундаментах зафиксированной прямой общего положения координаты точки  $M_1$ , принадлежащей этой прямой и расположенной в плоскости сечения, таковы:

$$Y_{M_1} = Y_{A'_1} - \bar{y}_{M_1},$$

$$Z_{M_1} = Z_{A'_1} + \bar{z}_{M_1}, \quad (2)$$

где  $\bar{y}_{M_1}$  и  $\bar{z}_{M_1}$  — координаты точки  $M_1$  в системе  $\bar{y}\bar{z}\bar{z}$ .

В поперечном сечении, зафиксированном шпилками на другом краинем фундаменте, координаты точки  $A'_n (Y_{A'_n}, Z_{A'_n})$  относительно оси  $OX$  (в сечении относительно точки  $O_n$ ) определяют согласно зависимостям (1) с учетом индексации. При этом связать любую из точек траекторий с перекрестьями  $A'_n, B'_n$  и  $B''_n$  невозможно. Непараллельность линий  $A_1A_n, B_1B_n$  оси  $OX$  (линии  $O_1O_n$ ), как и всех остальных соединяющих одноименные перекрестья, определяют из зависимостей

$$\Delta Y = Y_{A'_1} - Y_{A'_n},$$

$$\Delta Z = Z_{A'_1} - Z_{A'_n}. \quad (3)$$

Согласно (3) определяют непрямолинейность оси вращения в каждом из контролируемых сечений после записи траекторий сигнально-пищущего устройства на шпилках, учитывая, что непараллельность

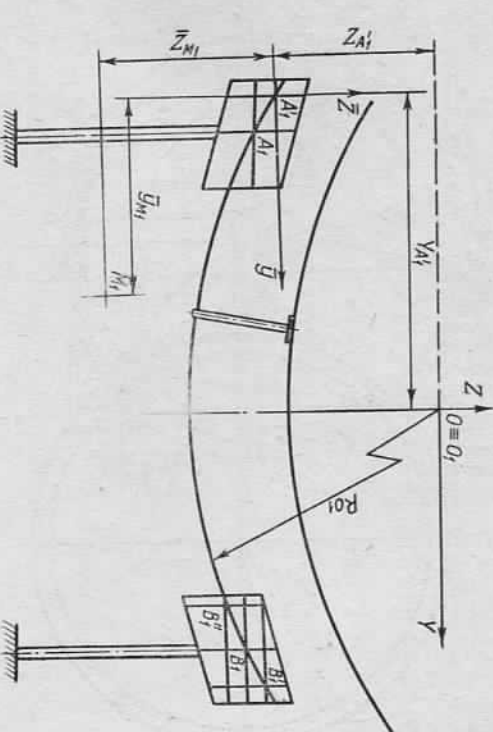


Рис. 2. Схема расположения устройств для контроля прямолинейности в плоскости сечения.

жельность линий оси  $OX$  изменяется пропорционально расстоянию между сечениями.

Непрямолинейность оси вращения печи, помимо описанного аналитического способа, можно определить графически. Графический способ проще аналитического, не требует вычислений и заключается в отыскании точек пересечения траекторий пера сигнально-пищущего устройства, записанных в одном сечении, и нахождении положения и точек пересечения радиальных осей.

Ниже приводим обоснование графического способа определения значений непрямолинейности оси вращения. Совмещают плоскости крайних поперечных сечений, обозначенных плоскостями шпилков (рис. 3), таким образом, чтобы  $A'_1 \equiv A'_n, B'_1 \equiv B'_n, B''_1 \equiv B''_n$ . Тогда координаты центра вращения сечения  $O_n$  относительно  $O_1 - \Delta Y_n$  и  $\Delta Z_n$ . Они представляют собой значения непараллельности оси  $OX$  (линии  $O_1O_n$ , см. рис. 1) линиям  $A'_1A'_n, B'_1B'_n, B''_1B''_n$  в плоскости другого крайнего или  $n$ -го сечения. Определение значений  $\Delta Y_n$  и  $\Delta Z_n$  аналогично отысканию непрямолинейности оси вращения.

Помимо плоской прямоугольной системы координат  $\bar{x}\bar{y}\bar{z}$ , начертой которой помешено в точку  $A'_1 \equiv A'_n$ , в точку  $B'_1 \equiv B'_n$  помешают начало системы координат  $x'y'z'$ , а в точку  $B''_1 \equiv B''_n$  начало

системы  $x''o''y''$ . Пунктиром показана траектория пера пишущего устройства в сечении со щитками, на которые нанесены перекрестья  $A'_1, B'_1, B''_1$ . Уравнение этой окружности в системе координат  $\bar{x}\bar{o}\bar{y}$  имеет вид

$$R_{o_1}^2 = (\bar{y} - \bar{y}_{o_1})^2 + (\bar{z} - \bar{z}_{o_1})^2,$$

$$R_{o_1}^2 = (y - y_{o_1})^2 + (z - z_{o_1})^2,$$

угол осей равен  $\varphi$ . Соотношения в расположении точек и линий в обеих системах координат инвариантны, поэтому (4) и (5) в системе  $\bar{x}\bar{o}\bar{y}$  примут вид

$$R_{o_1}^2 = (y - y_{o_1})^2 + (z - z_{o_1})^2,$$

$$R_{o_1}^2 = (y - y_{o_1}')^2 + (z - z_{o_1}')^2,$$

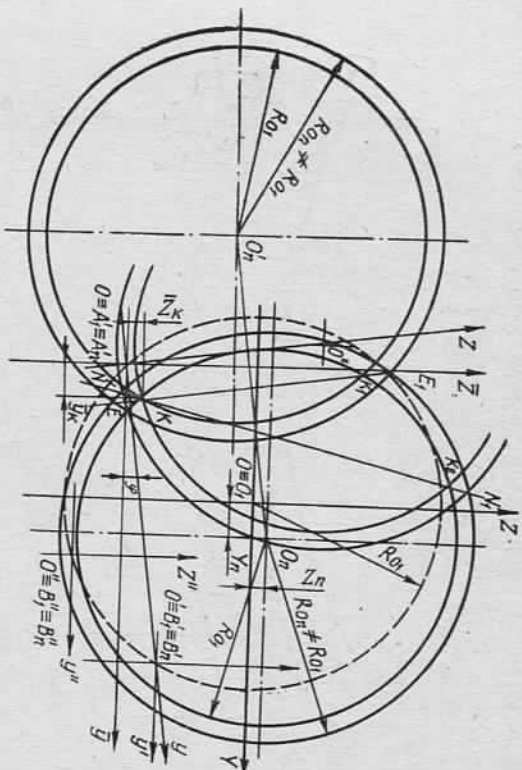


Рис. 3. Графический способ определения величин искривлений оси вращения.

где  $\bar{y}=0$ ;  $\bar{z}=0$ . Уравнение окружности радиуса  $R_{o_1}$  с центром в точке  $O'$  в той же системе координат имеет вид

$$R_{o_1}^2 = (\bar{y} - \bar{y}_{o_1})^2 + (\bar{z} - \bar{z}_{o_1})^2,$$

где  $\bar{y}_{o_1} = \bar{y}_{o_1} + \Delta Y_n$ ;  $\bar{z}_{o_1} = \bar{z}_{o_1} + \Delta z_n$ .

Перенеся параллельно начало системы координат  $x'o'y'$  в точку  $\bar{o}' \equiv A'_1 \equiv A_n'$ , строят окружность радиуса  $R_{o_1}$  с центром в точке  $O'$ , координаты которой в системе  $\bar{x}\bar{o}\bar{y}$  равны координатам точки  $O_n$  в системе  $x'o'y'$ . Уравнение построенной окружности имеет вид:

$$R_{o_1}^2 = (\bar{y} - \bar{y}_{o_1}')^2 + (\bar{z} - \bar{z}_{o_1}')^2,$$

где  $\bar{y}_{o_1}' = -\bar{y}_{o_1} + \bar{y}_o + \Delta Y_n$ ;  $\bar{z}_{o_1}' = \bar{z}_{o_1} - \bar{z}_o + \Delta z_n$ .

Так как  $|\bar{y}_{o_1}| + |\bar{y}_{o_1}'| = \bar{y}_o < 2R_{o_1}$ , окружности, представленные выражениями (4) и (5), имеют действительные точки пересечения.

С целью нахождения координат точки пересечения траекторий, нанесенных на щитки (т. е. окружностей с центрами в точках  $O_n$  и  $O_n'$ ), необходимо совместно решить (4) и (5). Для этого следует произвести поворот системы координат  $\bar{x}\bar{o}\bar{y}$  таким образом, чтобы ось  $\bar{o}\bar{y}$  новой системы проходила через точку  $O'$ . Угол по-

где

$$y = \bar{y} \cos \varphi + \bar{z} \sin \varphi; \quad z = -\bar{y} \sin \varphi + \bar{z} \cos \varphi;$$

$$y_{o_1} = \bar{y}_{o_1} \cos \varphi + \bar{z}_{o_1} \sin \varphi; \quad z_{o_1} = -\bar{y}_{o_1} \sin \varphi + \bar{z}_{o_1} \cos \varphi;$$

$$y_{o_1}' = \bar{y}_{o_1}' \cos \varphi + \bar{z}_{o_1}' \sin \varphi; \quad z_{o_1}' = -\bar{y}_{o_1}' \sin \varphi + \bar{z}_{o_1}' \cos \varphi.$$

Поскольку  $z_{o_1} = z_{o_1}'$ , разность уравнений системы (6) —  $(y - y_{o_1})^2 - (y - y_{o_1}')^2 = 0$ , откуда

$$(y)_{1,2} = (y_{o_1} + y_{o_1}')/2.$$

Подставляя в (7) значения  $y_{o_1}$  и  $y_{o_1}'$ , получаем  $y_1 = y_{o_1}$ . Одно из уравнений системы (6) после подстановки в него  $y_1 = y_{o_1}$  принимает вид

$$z^2 - 2(y_{o_1} + z_{o_1}) - 2y_{o_1}z_{o_1} + z_{o_1}^2 = 0.$$

Откуда

$$z_1 = z_{o_1},$$

$$z_2 = 2y_{o_1} + z_{o_1}.$$

Представив (7) и (9) в координатах  $\bar{y}\bar{o}\bar{z}$ , получим систему уравнений

$$\begin{aligned} \bar{y} \cdot \cos \varphi + \bar{z} \cdot \sin \varphi &= -\bar{y}_{o_1} \cos \varphi - \bar{z}_{o_1} \sin \varphi + \\ &\quad y_{o_1} \cos \varphi + z_{o_1} \sin \varphi, \\ -\bar{y} \cdot \sin \varphi + \bar{z} \cdot \cos \varphi &= -\bar{y}_{o_1} \sin \varphi + z_{o_1} \cos \varphi + \\ &\quad + y_{o_1} \sin \varphi - z_{o_1} \cos \varphi. \end{aligned} \quad (10)$$

Решив систему уравнений (10), находим

$$\bar{y}_1 = \Delta Y; \quad \bar{z}_1 = \Delta Z.$$

Координаты одной из точек пересечения двух окружностей с одинаковыми радиусами  $R_{o_1}$  (точка  $K$ ) в системе  $\bar{x}\bar{o}\bar{y}$  ( $\bar{o} \equiv A'_1 \equiv A_n'$  и  $O_n$ ), необходимо совместно решить (4) и (5). Для этого следует произвести поворот системы координат  $\bar{x}\bar{o}\bar{y}$  таким образом, чтобы ось  $\bar{o}\bar{y}$  новой системы проходила через точку  $O'_1 B''_n$  в  $n$ -м сечении:

$$\bar{y}_k = \Delta Y_n, z_k = \Delta Z_n.$$

Прямая, проходящая через точки  $K$  и  $K_1$ , является радиальной осью утомленных окружностей. Точка  $K$  — это точка пересечения записанных траекторий при совмещении перекрестия  $B_n'$  с перекрестием  $A_n'$ .

Поскольку радиусы вращения пера сигнально-пишущего устройства в контролируемых сечениях разные ( $R_{O_i} \neq R_{O_l} \neq R_{O_n}$ ), то построенные из центров  $O_n$  и  $O_n'$  окружности, концентрические нанесенным ранее ( $R_{O_n} \neq R_{O_l}$ ), пересекутся в точках  $E$  и  $E_1$ . Две окружности

$$y^2 + z^2 + D_1 y + D_2 z + D_3 = 0,$$

$$y^2 + z^2 + D_4 y + D_5 z + D_6 = 0,$$

имеющие точки пересечения, связаны зависимостью

$$y^2 + z^2 + D_1 y + D_2 z + D_3 + \xi (y^2 + z^2 + D_4 y + D_5 z + D_6) = 0,$$

(11)

где  $\xi$  — параметр. При  $\xi = -1$  уравнение (12) превращается в уравнение прямой

$$(D_1 - D_4)y + (D_2 - D_5)z + (D_3 - D_6) = 0. \quad (13)$$

Условие концентричности окружностей (11):  $D_1 = D_4$ ;  $D_2 = D_5$ . Тогда (13) примет вид  $D_3 = D_6$ , т. е. концентрические окружности имеют общую радиальную ось, а  $KK_1$  и  $EE_1$  — отрезки одной и той же прямой.

Для отыскания величин непрямолинейности оси вращения, когда  $R_{O_i} \neq R_{O_n}$ , начало системы координат  $x''o''y''$  параллельно перенесено в точку  $\bar{o} \equiv A'_i \equiv A_n'$  и выполняют описанные выше действия. Строят окружность радиуса  $R_{O_1}$  с центром в точке  $O_n'$ , координаты которой в системе  $\bar{x}\bar{y}\bar{y}'$  равны координатам точки  $O_n$  в системе  $x''o''y''$ . Повторив доказательство, находят, что одной из точек пересечения окружностей радиуса  $R_{O_1}$  с центрами  $O_n'$  и  $O_n$  является точка  $K$ . Радиальные оси окружностей радиусов  $R_{O_1}$  и  $R_{O_n}$  с центрами в точках  $O_n$  и  $O_n' - K_2 K$  и  $N_1 N$  — отрезки прямой, которая проходит через точку  $K_1$ , т. е.  $\bar{y}_k = \Delta Y_n$  и  $\bar{z}_k = \Delta Z_n$ , что уже было доказано с той лишь разницей, что  $K$  — точка пересечения радиальных осей траекторий, у которых  $R_{O_n} \neq R_{O_1}$ .

Практически для отыскания непрямолинейности снимают с одного из щитов восковку с нанесенной на неё траекторией и дополнительными перекрестиями  $B_i'$  и  $B_i''$ , поочередно совмещают назанные перекрестия с перекрестием  $A_i'$ . Через наклонные точки пересечения траекторий проводят две радиальные оси, перпендикулярные линиям  $A_i'B_i'$  и  $A_i'B_i''$ .

Координаты точки пересечения радиальных осей относительно  $A_i$  представляют собой значения непрямолинейности оси вращения печи в проверяемом сечении  $\Delta Y_i$ ;  $\Delta Z_i$ , с учетом непараллельности оси  $OX$  прямым  $A'_i A_n, B'_i B_n, B''_i B_n$  в  $i$ -м сечении. В слу-

чае необходимости непрямолинейность определяют относительно прямой общего положения, закрепленной на фундаментах.

Методика и средства контроля, с помощью которых она реализуется, испытаны на типовой вращающейся печи  $\varnothing 4,5 \times 170$  м. Средние квадратические погрешности составили в плане  $m_y = \pm 1,6$  мм, в вертикальной плоскости  $m_z = \pm 1,8$  мм.

**Список литературы:** 1. Засырикский А. В. Автоматизация высокоточных инженерно-геодезических измерений. — М.: Недра, 1976. 2. Кузю И. В., Михайловский Ю. Н., Шевченко Т. Г. Современные методы контроля установки оборудования. — Тольятти: Выша шк., 1982. 3. Система планово-предупредительного ремонта оборудования цементных заводов. — М.: Стройиздат, 1980. 4. Ямбаев Х. К. Высокоточные створные наблюдения. — М.: Недра, 1978.

Статья поступила в редакцию 20.01.84